

都市高速道路の設置に関する二、三の考察

京都大学工学部

正員 飯田 泰敬

横浜市役所

正員 平野 俊雄

1. はじめに

近年、わが国の大都市においては道路交通需要の増大にともなって、道路施設の増強が必要となり、それにに対する手段として都市高速道路の建設が進められてきている。本報告では、都市高速道路の建設にあたって決定されるその配置について、まず最適な配置をもとめる場合の評価方法を述べる。この場合、最適とは都市高速道路の配置により得られる都市内自動車交通の総走行節約時間(台・時)の量が最大となる場合の配置を示す。また都市をモデル化し、その都市に都市高速道路を配置する場合の転換交通量を建設位置、設置されるランプ数、有料料金の関係について解析的にもとの、簡単な例について計算を行ない、上述の評価方法により、より最適に近い配置を求め、その結果について述べる。

2. 評価方法

ここでは一点接中心都市について都心部を中心として半径を位置に環状の都市高速道路を建設する場合について考える。その場合、都市高速道路への転換交通量は一般に、

$$g_{rc} = f_n(r_c, n, E) \quad \cdots \cdots (a)$$

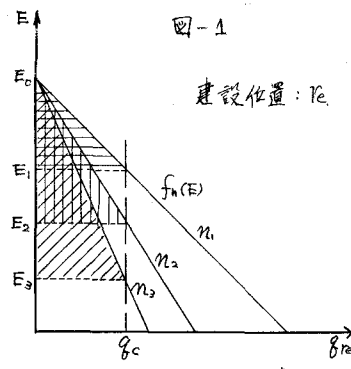
で表わされる。ここに r_c は建設位置、 n は設置されるランプ数、 E は有料料金である。つまり、縦軸に有料料金 E 、横軸に転換交通量 g_{rc} の座標系で式(a)の関係式を表すと一般に図-1のように各ランプ数に対して建設位置 r_c の曲線が描けるであろう。ここで建設位置 r_c における都市高速道路の交通容量 g_{rc} が与えられ、またこれまでの転換対象交通に対して一定の時間価値をもつとすれば、この場合の各ランプ数に対して得られる総走行節約時間は、

$$\frac{1}{2} \cdot \int_{E_1}^{E_2} f_n(r_c, n, E) E dE \quad \cdots \cdots (b)$$

と求められる。同様にして建設位置をしきりにえて総走行節約時間となり、その中で最大となる場合の建設位置、ランプ数、有料料金が求められる最適な都市高速道路の配置となる(式(b))は図から横軸に対する各斜線部分の面積のモーメントを示している)。他の都市形態、都市高速道路の配置形態についても同様にして評価することができるであろう。

3. 解析および計算例

ここで対象とする都市は一点接中心都市を考へ、都市高速道路は環状1本の場合をとりあげ、都市高速道路への転換対象交通はそのトリップエンドが両端共に都市域内に存在する交通を考へる。この場合、トリップエンドの存在確率の分布は都心部を中心として周辺

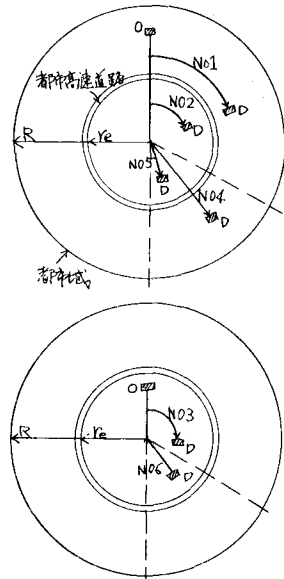


部へ一様に指數分布($\frac{1}{2\pi} \cdot e^{-Ar}$) してあるものと考える。また交通渋滞吸収ードは都市域内に連続に分布していると考え、街路網は放射環状型道路が無数に存在すると考える。そして分布交通量は交通の出発地と目的地の交通渋滞吸収力によってのみ決定されるとして、その交通は最短経路にすべて流出ると考える。二のようヒモデル化された都市に1本の環状都市高速道路が配置された場合について、その転換交通量を解析的に求めよ。二の場合、一般街路と都市高速道路の走行速度は交通量に関係せざれ一定とし、また都市高速道路へ転換する場合の条件は、転換することにより少しでも交通所要時間が節約できればすべて転換するとしてある。また時間価値とは転換対象を通りてに付して一定とする。二のうとして転換交通量を建設位置、ランプ数、有料・金の関係について解析的に求めよと表-1のようとする(表-1は近似化して解析的にもとめてある)。二の場合、都市域内の交通を図-2のように6種類の交通形態に分類してそれぞれについて求めた。そして表-2の場合について実際計算を行なつ、上記の評価方法を用いて評価すると、露直に近づくと表-5より解は表-3の*印となる。但し本報告では建設量を考慮していない。

表-1 ランプ数、位置、建設位置を。(注: 転換範囲の附帯角は、他の条件に付随する)

交通形態	転換範囲	転換交通量
N01	$2\pi r_1^2 R^2$	$n \cdot 2T \frac{2\pi}{n} \frac{1}{2} \int_{r_1}^R \frac{1}{2\pi} \int_{r_1}^R e^{-Ax} \left\{ \int_{r_1}^2 \int_{r_1}^R e^{-Ay} dy + \int_{r_1}^2 \int_R^2 e^{-Ay} dy \right\} dx$
N02	$2\pi r_1^2 R^2$	$n \cdot 2T \frac{2\pi}{n} \frac{1}{2} \int_{r_1}^R \frac{1}{2\pi} \int_{r_1}^R e^{-Ax} \left\{ \int_{r_1}^2 \int_{r_1}^1 \frac{1}{2\pi} e^{-Ay} dy dx + \int_{r_1}^2 \int_1^R \frac{1}{2\pi} e^{-Ay} dy dx \right\} dx$
N03	$2\pi r_1^2 R^2$	$n \cdot 2T \frac{2\pi}{n} \frac{1}{2} \int_{r_1}^R \frac{1}{2\pi} \int_{r_1}^R e^{-Ax} \left\{ \int_{r_1}^2 \int_{r_1}^1 \frac{1}{2\pi} e^{-Ay} dy dx + \int_{r_1}^2 \int_1^R \frac{1}{2\pi} e^{-Ay} dy dx \right\} dx$
N04	$\pi r_1^2 (R^2 - r_1^2)$	$n \cdot 2T \frac{2\pi}{n} \frac{1}{2} \int_{r_1}^R \frac{1}{2\pi} \int_{r_1}^R e^{-Ax} \left\{ 2 \int_{r_1}^R \int_{r_1}^R \frac{1}{2\pi} e^{-Ay} dy dx + 2 \int_{r_1}^R \int_R^R \frac{1}{2\pi} e^{-Ay} dy dx \right\} dx$
N05	$\pi r_1^2 (R^2 - r_1^2)$	$n \cdot 2T \frac{2\pi}{n} \frac{1}{2} \int_{r_1}^R \frac{1}{2\pi} \int_{r_1}^R e^{-Ax} \left\{ 2 \int_{r_1}^R \int_{r_1}^1 \frac{1}{2\pi} e^{-Ay} dy dx + 2 \int_{r_1}^R \int_1^R \frac{1}{2\pi} e^{-Ay} dy dx \right\} dx$
N06	$\pi r_1^2 (R^2 - r_1^2)$	$n \cdot 2T \frac{2\pi}{n} \frac{1}{2} \int_{r_1}^R \frac{1}{2\pi} \int_{r_1}^R e^{-Ax} \left\{ 2 \int_{r_1}^R \int_{r_1}^1 \frac{1}{2\pi} e^{-Ay} dy dx + 2 \int_{r_1}^R \int_1^R \frac{1}{2\pi} e^{-Ay} dy dx \right\} dx$

図-2 交通形態



総転換数 T (10^6/日)	R (km)	r_e (km)	T_a (km/日)	T_e (km/日)	S (円/日)
200万	0.136				
50万	0.164				

表-3 H18/12車線の高架道路

T=200万 H11/2月			T=50万 H11/2月			T=200万 H11/2月		
r_e	n	AT (合時)	r_e	n	AT	r_e	n	AT
9	無数	94万	9	無数	38万	9	無数	* 54万
	*	110万		12	44万		9	* 144万
	6	104万		6	45万		12	138万

